

Script generated by TTT

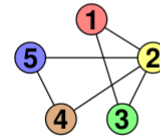
Title: Täubig: GAD (24.06.2014)

Date: Tue Jun 24 13:51:42 CEST 2014

Duration: 135:39 min

Pages: 67

Kantenliste

 $\{1, 2\}, \{1, 3\}, \{2, 3\}, \{2, 4\}, \{2, 5\}, \{4, 5\}$

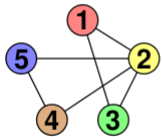
Vorteil:

- Speicherbedarf $O(m + n)$
- Einfügen von Knoten und Kanten in $O(1)$
- Löschen von Kanten per Handle in $O(1)$

Nachteil:

- $G.find(\text{Key } i, \text{Key } j)$: im worst case $\Theta(m)$
- $G.remove(\text{Key } i, \text{Key } j)$: im worst case $\Theta(m)$
- Nachbarn nur in $O(m)$ feststellbar

Adjazenzmatrix



$$\begin{pmatrix} 0 & 1 & 1 & 0 & 0 \\ 1 & 0 & 1 & 1 & 1 \\ 1 & 1 & 0 & 0 & 0 \\ 0 & 1 & 0 & 0 & 1 \\ 0 & 1 & 0 & 1 & 0 \end{pmatrix}$$

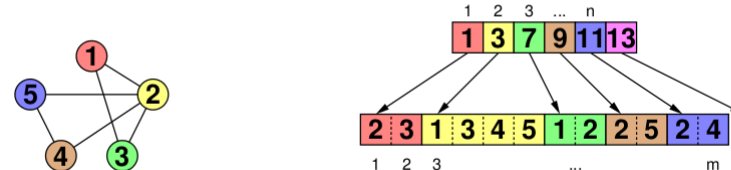
Vorteil:

- in $O(1)$ feststellbar, ob zwei Knoten Nachbarn sind
- ebenso Einfügen und Löschen von Kanten

Nachteil:

- kostet $\Theta(n^2)$ Speicher, auch bei Graphen mit $o(n^2)$ Kanten
- Finden aller Nachbarn eines Knotens kostet $O(n)$
- Hinzufügen neuer Knoten ist schwierig

Adjazenzarrays



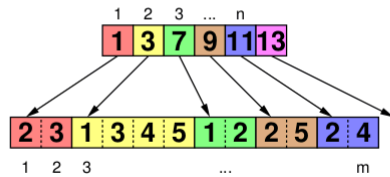
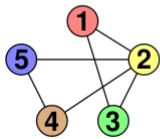
Vorteil:

- Speicherbedarf:
gerichtete Graphen: $n + m + \Theta(1)$
(hier noch kompakter als Kantenliste mit $2m$)
ungerichtete Graphen: $n + 2m + \Theta(1)$

Nachteil:

- Einfügen und Löschen von Kanten ist schwierig, deshalb nur für **statische** Graphen geeignet

Adjazenzarrays



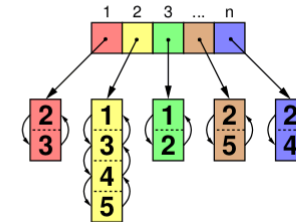
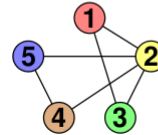
Vorteil:

- Speicherbedarf:
gerichtete Graphen: $n + m + \Theta(1)$
(hier noch kompakter als Kantenliste mit $2m$)
ungerichtete Graphen: $n + 2m + \Theta(1)$

Nachteil:

- Einfügen und Löschen von Kanten ist schwierig, deshalb nur für **statische** Graphen geeignet

Adjazenzlisten



Unterschiedliche Varianten:

einfach/doppelt verkettet, linear/zirkulär

Vorteil:

- Einfügen von Kanten in $O(d)$ oder $O(1)$
- Löschen von Kanten in $O(d)$ (per Handle in $O(1)$)
- mit unbounded arrays etwas cache-effizienter

Nachteil:

- Zeigerstrukturen verbrauchen relativ viel Platz und Zugriffszeit

Adjazenzliste + Hashtabelle

- speichere Adjazenzliste (Liste von adjazenten Knoten bzw. inzidenten Kanten zu jedem Knoten)
- speichere Hashtabelle, die zwei Knoten auf einen Zeiger abbildet, der dann auf die ggf. vorhandene Kante verweist

Zeitaufwand:

- $G.find(\text{Key } i, \text{Key } j)$: $O(1)$ (worst case)
- $G.insert(\text{Edge } e)$: $O(1)$ (im Mittel)
- $G.remove(\text{Key } i, \text{Key } j)$: $O(1)$ (im Mittel)

Speicheraufwand: $O(n + m)$

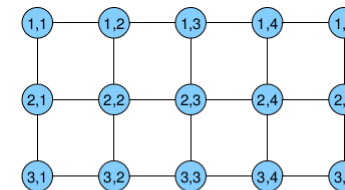
Implizite Repräsentation

Beispiel: **Gitter-Graph** (grid graph)

- definiert durch zwei Parameter k und ℓ

$$V = [1, \dots, k] \times [1, \dots, \ell]$$

$$E = \left\{ ((i, j), (i, j')) \in V^2 : |j - j'| = 1 \right\} \cup \left\{ ((i, j), (i', j)) \in V^2 : |i - i'| = 1 \right\}$$



- Kantengewichte könnten in 2 zweidimensionalen Arrays gespeichert werden:
eins für waagerechte und eins für senkrechte Kanten

Übersicht

9 Graphen

- Netzwerke und Graphen
- Graphrepräsentation
- **Graphtraversierung**
- Kürzeste Wege
- Minimale Spannbäume

Graphtraversierung

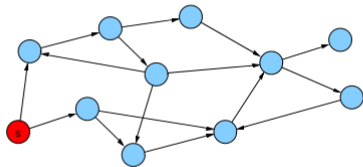
Problem:

Wie kann man die Knoten eines Graphen **systematisch durchlaufen**?

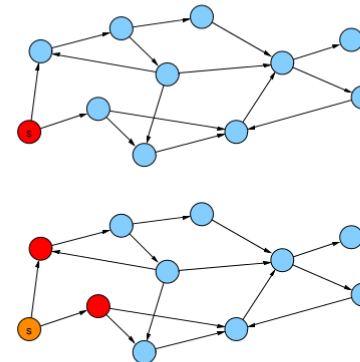
Grundlegende Strategien:

- Breitensuche (breadth-first search, BFS)
- Tiefensuche (depth-first search, DFS)

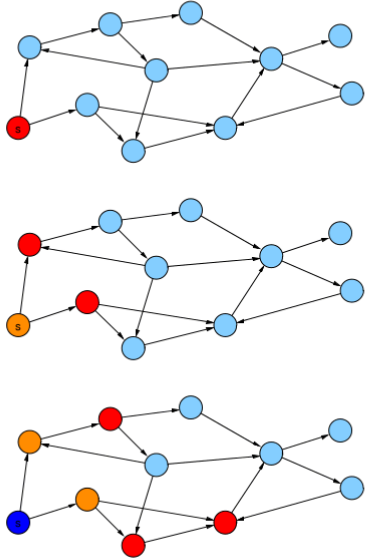
Breitensuche



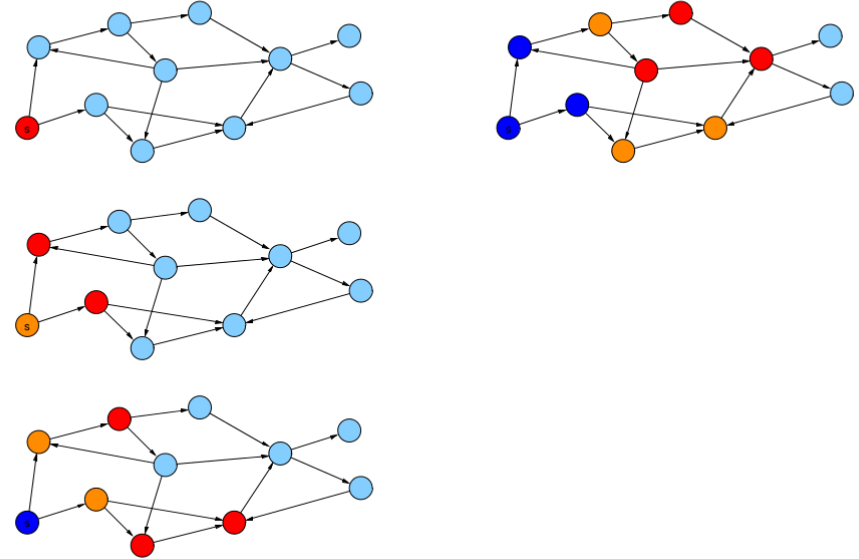
Breitensuche



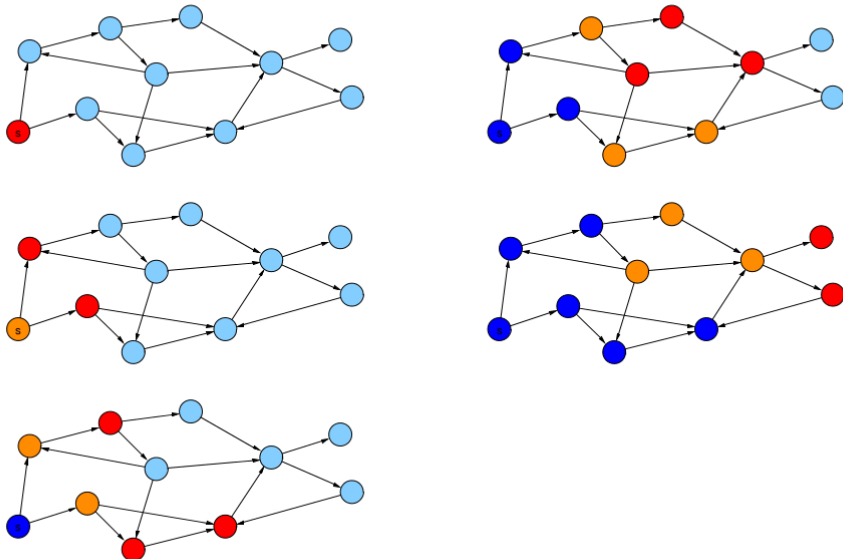
Breitensuche



Breitensuche

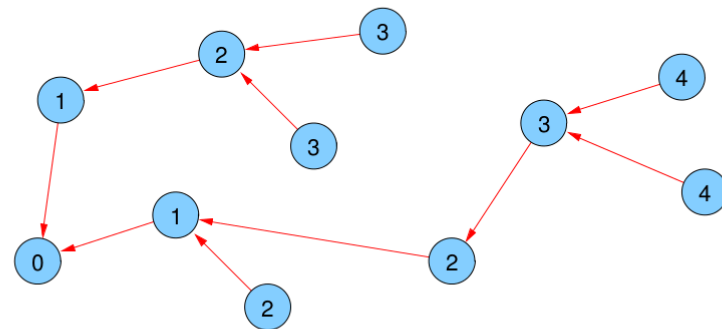


Breitensuche



Breitensuche

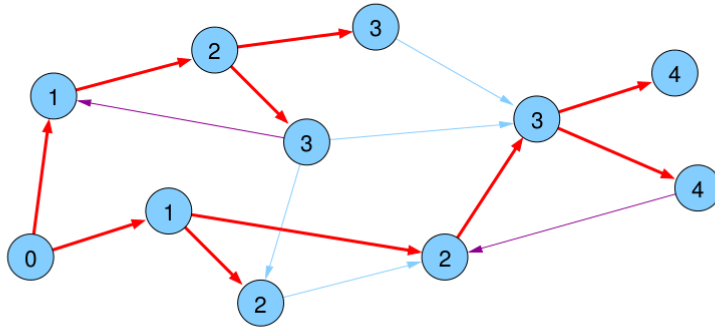
- **parent(v)**: Knoten, von dem v entdeckt wurde
- parent wird beim ersten Besuch von v gesetzt (\Rightarrow eindeutig)



Breitensuche

Kantentypen:

- **Baumkanten:** zum Kind
- **Rückwärtskanten:** zu einem Vorfahren
- **Kreuzkanten:** sonstige



Breitensuche

```

BFS(Node s) {
  d[s] = 0;
  parent[s] = s;
  List<Node> q = <s>;
  while ( !q.empty() ) {
    u = q.popFront();
    foreach ((u, v) ∈ E) {
      if (parent[v] == null) {
        q.pushBack(v);
        d[v] = d[u]+1;
        parent[v] = u;
      }
    }
  }
}

```

Adjazenzliste + Hashtabelle

- speichere Adjazenzliste (Liste von adjazenten Knoten bzw. inzidenten Kanten zu jedem Knoten)
- speichere Hashtabelle, die zwei Knoten auf einen Zeiger abbildet, der dann auf die ggf. vorhandene Kante verweist

Zeitaufwand:

- $G.find(\text{Key } i, \text{Key } j)$: $O(1)$ (worst case)
- $G.insert(\text{Edge } e)$: $O(1)$ (im Mittel)
- $G.remove(\text{Key } i, \text{Key } j)$: $O(1)$ (im Mittel)

Speicheraufwand: $O(n + m)$

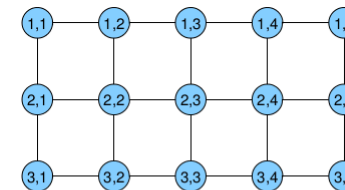
Implizite Repräsentation

Beispiel: **Gitter-Graph** (grid graph)

- definiert durch zwei Parameter k und ℓ

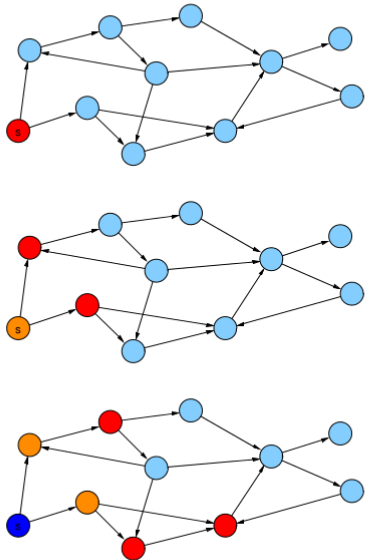
$$V = [1, \dots, k] \times [1, \dots, \ell]$$

$$E = \left\{ ((i, j), (i, j')) \in V^2 : |j - j'| = 1 \right\} \cup \left\{ ((i, j), (i', j)) \in V^2 : |i - i'| = 1 \right\}$$



- Kantengewichte könnten in 2 zweidimensionalen Arrays gespeichert werden:
eins für waagerechte und eins für senkrechte Kanten

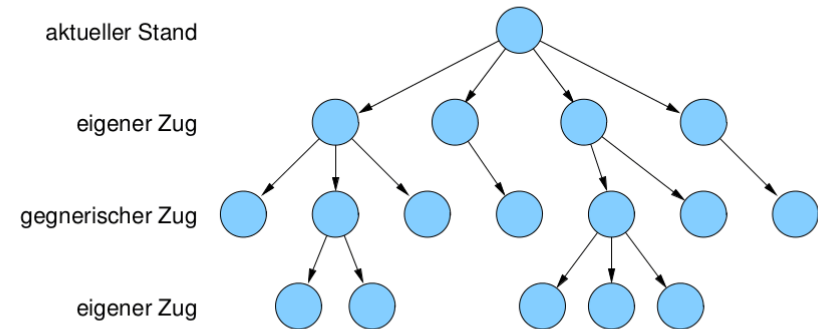
Breitensuche



Breitensuche

Anwendung: Bestimmung des nächsten Zugs bei Spielen

Exploration des Spielbaums



Problem: halte Aufwand zur Suche eines guten Zuges in Grenzen

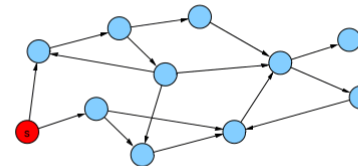
Breitensuche

Anwendung: Bestimmung des nächsten Zugs bei Spielen

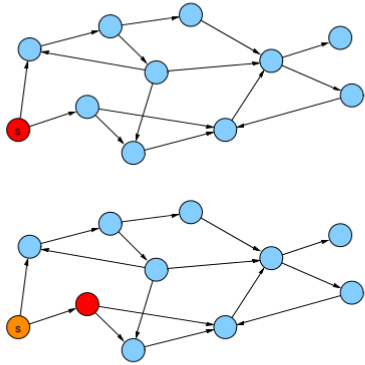
- **Standard-BFS:** verwendet **FIFO-Queue**
ebenenweise Erkundung
aber: zu teuer!
- **Best-First Search:** verwendet **Priority Queue**
(z.B. realisiert durch binären Heap)

Priorität eines Knotens wird durch eine Güte-Heuristik des repräsentierten Spielzustands gegeben

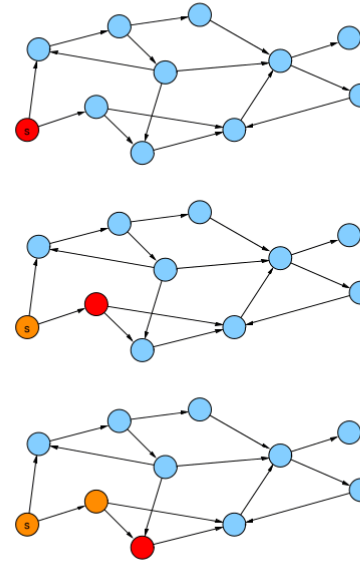
Tiefensuche



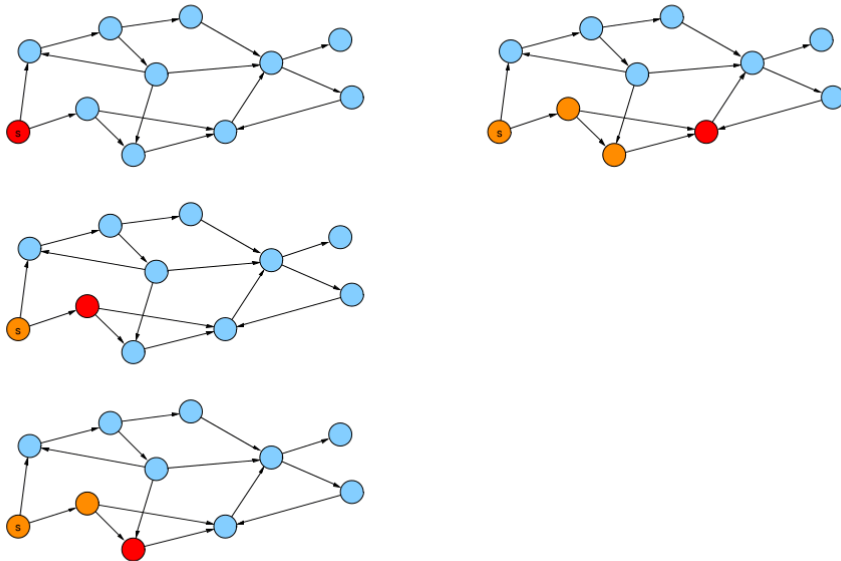
Tiefensuche



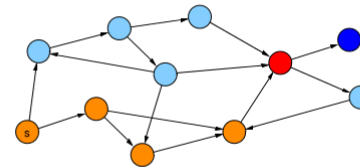
Tiefensuche



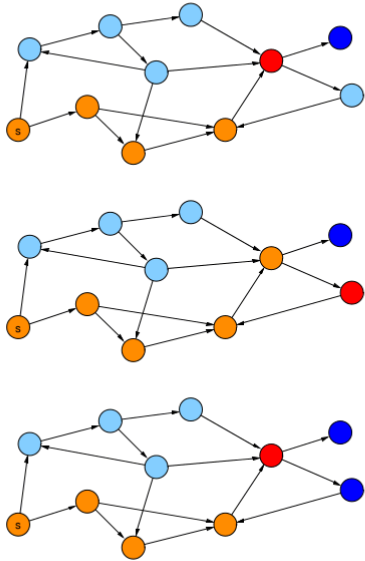
Tiefensuche



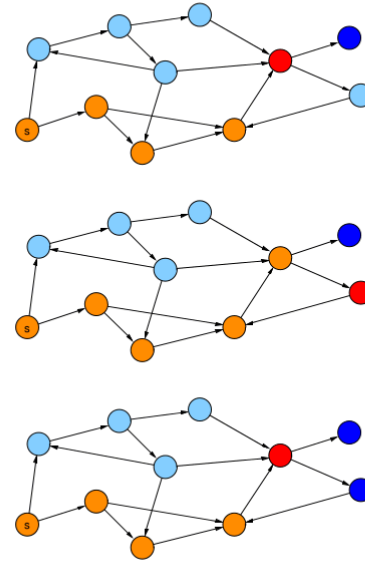
Tiefensuche



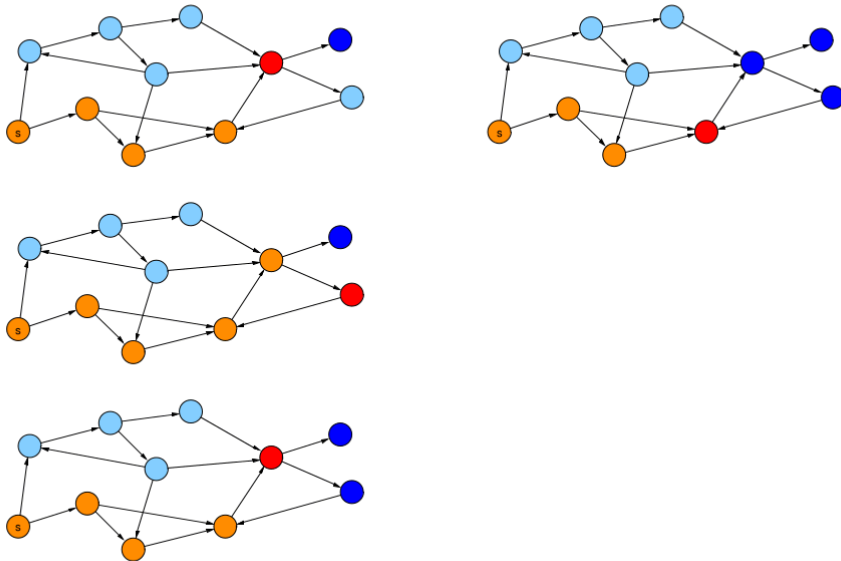
Tiefensuche



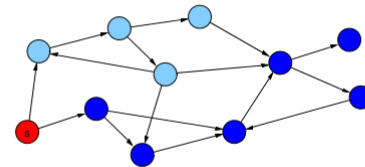
Tiefensuche



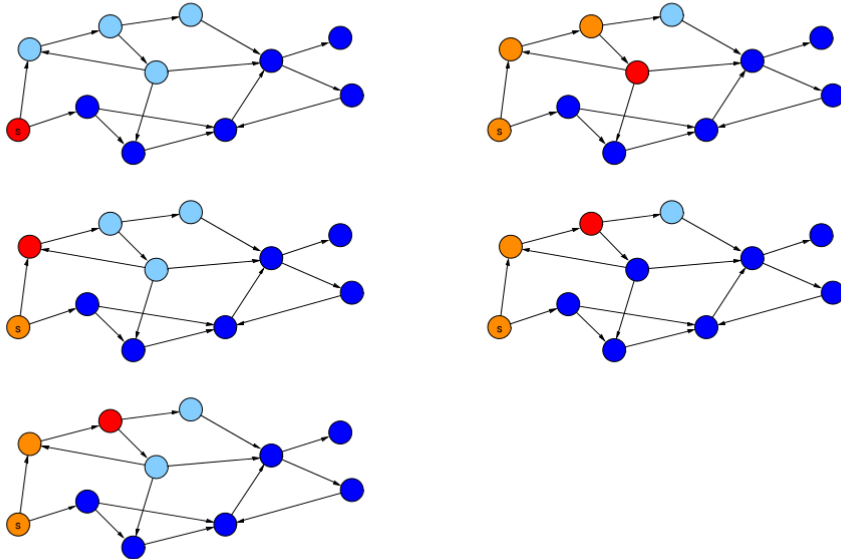
Tiefensuche



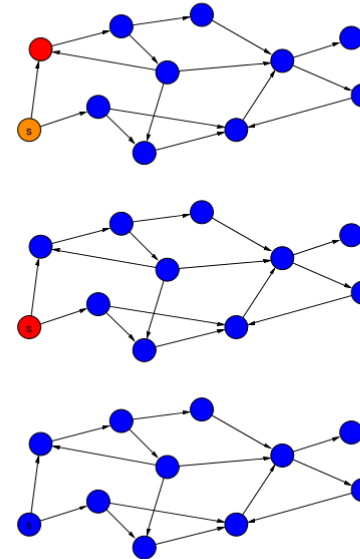
Tiefensuche



Tiefensuche



Tiefensuche



Tiefensuche

Variablen:

- `int[] dfsNum;` // Explorationsreihenfolge
- `int[] finishNum;` // Fertigstellungsreihenfolge
- `int dfsCount, finishCount;` // Zähler

Methoden:

- `init()` { `dfsCount = 1;` `finishCount = 1;` }
- `root(Node s)` { `dfsNum[s] = dfsCount;` `dfsCount++;` }
- `traverseTreeEdge(Node v, Node w)`
{ `dfsNum[w] = dfsCount;` `dfsCount++;` }
- `traverseNonTreeEdge(Node v, Node w)` { }
- `backtrack(Node u, Node v)`
{ `finishNum[v] = finishCount;` `finishCount++;` }

Tiefensuche

Übergeordnete Methode:

```

foreach (v ∈ V)
  Setze v auf nicht markiert;
init();
foreach (s ∈ V)
  if (s nicht markiert) {
    markiere s;
    root(s);
    DFS(s,s);
  }

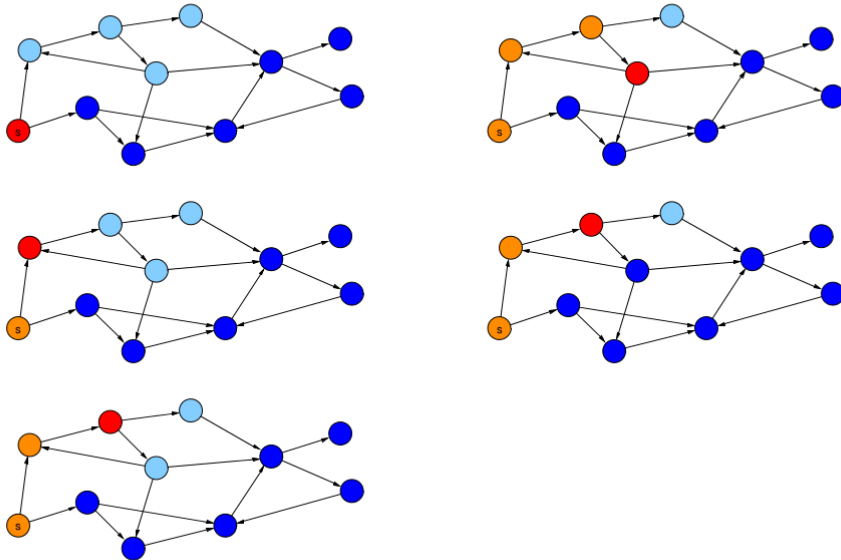
```

```

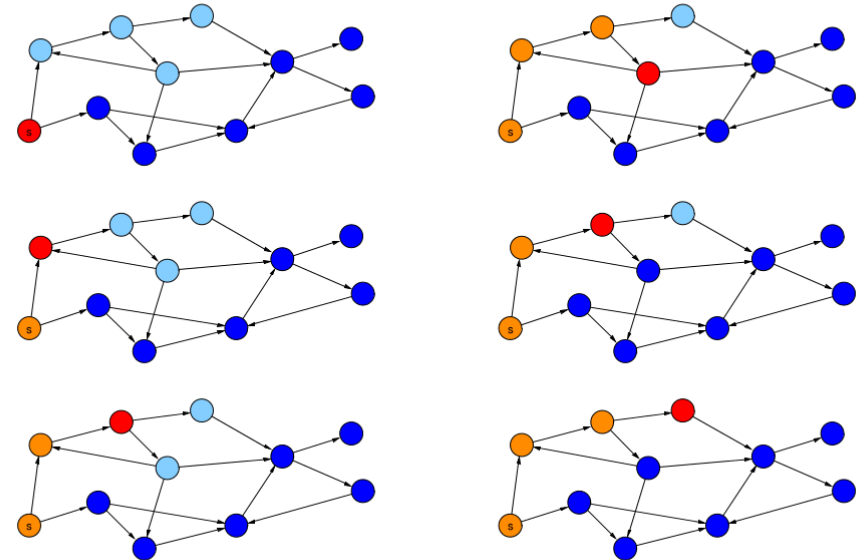
DFS(Node u, Node v) {
  foreach ((v, w) ∈ E)
    if (w ist markiert)
      traverseNonTreeEdge(v,w);
    else {
      traverseTreeEdge(v,w);
      markiere w;
      DFS(v,w);
    }
  backtrack(u,v);
}

```

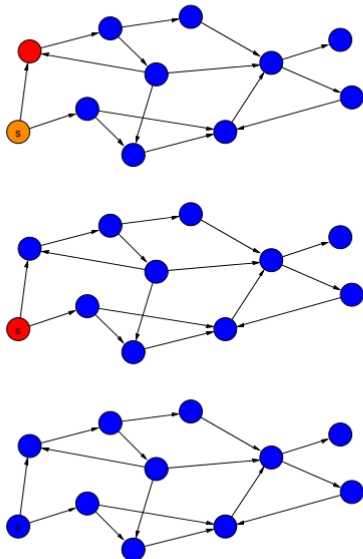
Tiefensuche



Tiefensuche



Tiefensuche



Tiefensuche

Variablen:

- `int[] dfsNum;` // Explorationsreihenfolge
- `int[] finishNum;` // Fertigstellungsreihenfolge
- `int dfsCount, finishCount;` // Zähler

Methoden:

- `init()` { `dfsCount = 1;` `finishCount = 1;` }
- `root(Node s)` { `dfsNum[s] = dfsCount;` `dfsCount++;` }
- `traverseTreeEdge(Node v, Node w)`
 { `dfsNum[w] = dfsCount;` `dfsCount++;` }
- `traverseNonTreeEdge(Node v, Node w)` { }
- `backtrack(Node u, Node v)`
 { `finishNum[v] = finishCount;` `finishCount++;` }

Tiefensuche

Übergeordnete Methode:

```

foreach (v ∈ V)
  Setze v auf nicht markiert;
init();
foreach (s ∈ V)
  if (s nicht markiert) {
    markiere s;
    root(s);
    DFS(s,s);
  }

```

```

DFS(Node u, Node v) {
  foreach ((v, w) ∈ E)
    if (w ist markiert)
      traverseNonTreeEdge(v,w);
    else {
      traverseTreeEdge(v,w);
      markiere w;
      DFS(v,w);
    }
  backtrack(u,v);
}

```

Tiefensuche

Variablen:

- int[] **dfsNum**; // Explorationsreihenfolge
- int[] **finishNum**; // Fertigstellungsreihenfolge
- int **dfsCount**, **finishCount**; // Zähler

Methoden:

- **init()** { dfsCount = 1; finishCount = 1; }
- **root(Node s)** { dfsNum[s] = dfsCount; dfsCount++; }
- **traverseTreeEdge(Node v, Node w)**
{ dfsNum[w] = dfsCount; dfsCount++; }
- **traverseNonTreeEdge(Node v, Node w)** { }
- **backtrack(Node u, Node v)**
{ finishNum[v] = finishCount; finishCount++; }

Tiefensuche

Übergeordnete Methode:

```

foreach (v ∈ V)
  Setze v auf nicht markiert;
init();
foreach (s ∈ V)
  if (s nicht markiert) {
    markiere s;
    root(s);
    DFS(s,s);
  }

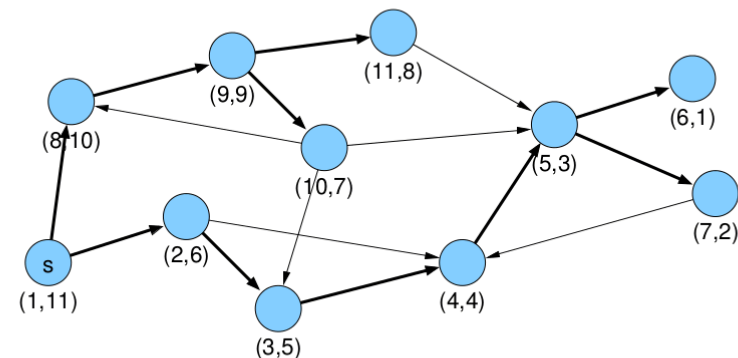
```

```

DFS(Node u, Node v) {
  foreach ((v, w) ∈ E)
    if (w ist markiert)
      traverseNonTreeEdge(v,w);
    else {
      traverseTreeEdge(v,w);
      markiere w;
      DFS(v,w);
    }
  backtrack(u,v);
}

```

Tiefensuche



DFS-Nummerierung

Beobachtung:

- Knoten im DFS-Rekursionsstack (aktiven Knoten) sind bezüglich dfsNum aufsteigend sortiert

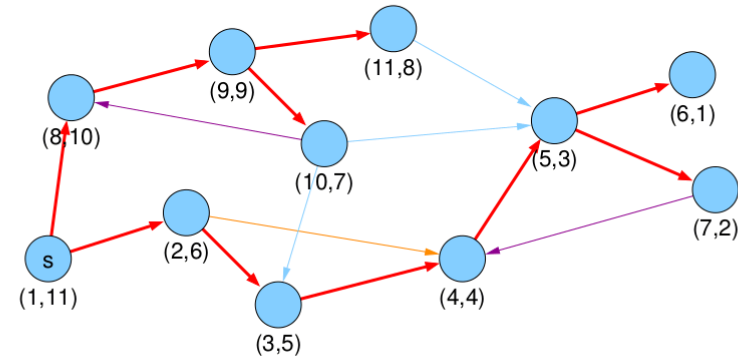
Begründung:

- dfsCount wird nach jeder Zuweisung von dfsNum inkrementiert
- neue aktive Knoten haben also immer die höchste dfsNum

DFS-Nummerierung

Kantentypen:

- **Baumkanten:** zum Kind
- **Vorwärtskanten:** zu einem Nachfahren
- **Rückwärtskanten:** zu einem Vorfahren
- **Kreuzkanten:** sonstige



DFS-Nummerierung

Beobachtung für Kante (v, w) :

Kantentyp	$\text{dfsNum}[v] < \text{dfsNum}[w]$	$\text{finishNum}[v] > \text{finishNum}[w]$
Baum & Vorwärts	ja	ja
Rückwärts	nein	nein (umgekehrt)
Kreuz	nein	ja

DFS-Nummerierung

Beobachtung für Kante (v, w) :

Kantentyp	$\text{dfsNum}[v] < \text{dfsNum}[w]$	$\text{finishNum}[v] > \text{finishNum}[w]$
Baum & Vorwärts	ja	ja
Rückwärts	nein	nein (umgekehrt)
Kreuz	nein	ja

DFS-Nummerierung

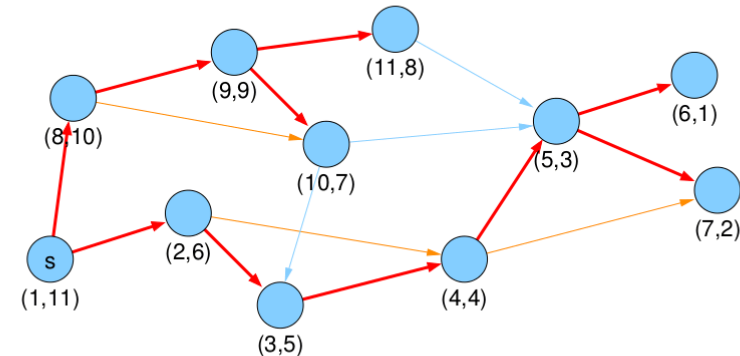
Beobachtung für Kante (v, w) :

Kantentyp	$\text{dfsNum}[v] < \text{dfsNum}[w]$	$\text{finishNum}[v] > \text{finishNum}[w]$
Baum & Vorwärts	ja	ja
Rückwärts	nein	nein (umgekehrt)
Kreuz	nein	ja

DAG-Erkennung per DFS

Anwendung:

- Erkennung von azyklischen gerichteten Graphen (engl. directed acyclic graph / DAG)



- keine gerichteten Kreise

DAG-Erkennung per DFS

Lemma

Folgende Aussagen sind äquivalent:

- Graph G ist ein DAG.
- DFS in G enthält keine Rückwärtskante.
- $\forall (v, w) \in E : \text{finishNum}[v] > \text{finishNum}[w]$

Beweis.

- $(2) \Rightarrow (3)$: Wenn (2), dann gibt es nur Baum-, Vorwärts- und Kreuz-Kanten. Für alle gilt (3).
- $(3) \Rightarrow (2)$: Für Rückwärtskanten gilt sogar die umgekehrte Relation $\text{finishNum}[v] < \text{finishNum}[w]$. Wenn (3), dann kann es also keine Rückwärtskanten geben (2).

...

DAG-Erkennung per DFS

Lemma

Folgende Aussagen sind äquivalent:

- Graph G ist ein DAG.
- DFS in G enthält keine Rückwärtskante.
- $\forall (v, w) \in E : \text{finishNum}[v] > \text{finishNum}[w]$

DAG-Erkennung per DFS

Lemma

Folgende Aussagen sind äquivalent:

- ① Graph G ist ein DAG.
- ② DFS in G enthält keine **Rückwärtskante**.
- ③ $\forall (v, w) \in E : finishNum[v] > finishNum[w]$

Beweis.

- $\neg(2) \Rightarrow \neg(1)$: Wenn **Rückwärtskante** (v, w) existiert, gibt es einen gerichteten Kreis ab Knoten w (und G ist kein DAG).
- $\neg(1) \Rightarrow \neg(2)$: Wenn es einen gerichteten Kreis gibt, ist mindestens eine von der DFS besuchte Kante dieses Kreises eine **Rückwärtskante** (Kante zu einem schon besuchten Knoten, dieser muss Vorfahr sein).

□

DAG-Erkennung per DFS

Lemma

Folgende Aussagen sind äquivalent:

- ① Graph G ist ein DAG.
- ② DFS in G enthält keine **Rückwärtskante**.
- ③ $\forall (v, w) \in E : finishNum[v] > finishNum[w]$

Beweis.

- $(2) \Rightarrow (3)$: Wenn (2), dann gibt es nur **Baum-**, **Vorwärts-** und **Kreuz-**Kanten. Für alle gilt (3).
- $(3) \Rightarrow (2)$: Für **Rückwärtskanten** gilt sogar die umgekehrte Relation $finishNum[v] < finishNum[w]$. Wenn (3), dann kann es also keine **Rückwärtskanten** geben (2).

...

DFS-Nummerierung

Beobachtung für Kante (v, w) :

Kantentyp	$dfsNum[v] < dfsNum[w]$	$finishNum[v] > finishNum[w]$
Baum & Vorwärts	ja	ja
Rückwärts	nein	nein (umgekehrt)
Kreuz	nein	ja

DAG-Erkennung per DFS

Lemma

Folgende Aussagen sind äquivalent:

- ① Graph G ist ein DAG.
- ② DFS in G enthält keine **Rückwärtskante**.
- ③ $\forall (v, w) \in E : finishNum[v] > finishNum[w]$

Beweis.

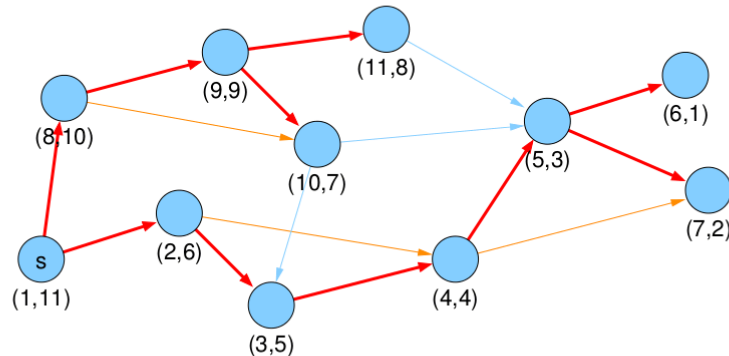
- $(2) \Rightarrow (3)$: Wenn (2), dann gibt es nur **Baum-**, **Vorwärts-** und **Kreuz-**Kanten. Für alle gilt (3).
- $(3) \Rightarrow (2)$: Für **Rückwärtskanten** gilt sogar die umgekehrte Relation $finishNum[v] < finishNum[w]$. Wenn (3), dann kann es also keine **Rückwärtskanten** geben (2).

...

DAG-Erkennung per DFS

Anwendung:

- Erkennung von azyklischen gerichteten Graphen (engl. directed acyclic graph / DAG)



- keine gerichteten Kreise



Zusammenhang in Graphen

Definition

Ein ungerichteter Graph heißt **zusammenhängend**, wenn es von jedem Knoten einen Pfad zu jedem anderen Knoten gibt.

Ein maximaler zusammenhängender induzierter Teilgraph wird als **Zusammenhangskomponente** bezeichnet.

Die Zusammenhangskomponenten eines ungerichteten Graphen können mit DFS oder BFS in $O(n + m)$ bestimmt werden.



Knoten-Zusammenhang

Definition

Ein ungerichteter Graph $G = (V, E)$ heißt **k -fach zusammenhängend** (oder genauer gesagt **k -knotenzusammenhängend**), falls

- $|V| > k$ und
- für jede echte Knotenteilmenge $X \subset V$ mit $|X| < k$ der Graph $G - X$ zusammenhängend ist.



Knoten-Zusammenhang

Definition

Ein ungerichteter Graph $G = (V, E)$ heißt **k -fach zusammenhängend** (oder genauer gesagt **k -knotenzusammenhängend**), falls

- $|V| > k$ und
- für jede echte Knotenteilmenge $X \subset V$ mit $|X| < k$ der Graph $G - X$ zusammenhängend ist.

Bemerkung:

- “zusammenhängend” ist im wesentlichen gleichbedeutend mit “1-knotenzusammenhängend”

Ausnahme: Graph mit nur einem Knoten ist zusammenhängend, aber nicht 1-zusammenhängend



Artikulationsknoten und Blöcke

Definition

Ein Knoten v eines Graphen G heißt **Artikulationsknoten** (engl. *cut-vertex*), wenn sich die Anzahl der Zusammenhangskomponenten von G durch das Entfernen von v erhöht.

Artikulationsknoten und Blöcke

Definition

Ein Knoten v eines Graphen G heißt **Artikulationsknoten** (engl. *cut-vertex*), wenn sich die Anzahl der Zusammenhangskomponenten von G durch das Entfernen von v erhöht.

Definition

Die **Zweifachzusammenhangskomponenten** eines Graphen sind die maximalen Teilgraphen, die 2-fach zusammenhängend sind.

Ein **Block** ist ein maximaler zusammenhängender Teilgraph, der keinen Artikulationsknoten enthält.

Die Menge der Blöcke besteht aus den Zweifachzusammenhangskomponenten, den Brücken (engl. *cut edges*), sowie den isolierten Knoten.

Blöcke und DFS

Modifizierte DFS nach R. E. Tarjan:

- $\text{num}[v]$: DFS-Nummer von v
- $\text{low}[v]$: minimale Nummer $\text{num}[w]$ eines Knotens w , der von v aus über **beliebig viele** (≥ 0) **Baumkanten** (abwärts), evt. gefolgt von **einer einzigen Rückwärtskante** (aufwärts) erreicht werden kann
- $\text{low}[v]$: Minimum von
 - $\text{num}[v]$
 - $\text{low}[w]$, wobei w ein Kind von v im DFS-Baum ist (**Baumkante**)
 - $\text{num}[w]$, wobei $\{v, w\}$ eine **Rückwärtskante** ist

Artikulationsknoten und DFS

Lemma

Sei $G = (V, E)$ ein ungerichteter, zusammenhängender Graph und T ein DFS-Baum in G .

Ein Knoten $a \in V$ ist genau dann ein Artikulationsknoten, wenn

- a die Wurzel von T ist und mindestens 2 Kinder hat, oder
- a nicht die Wurzel von T ist und es ein Kind b von a mit $\text{low}[b] \geq \text{num}[a]$ gibt.

Beweisidee

Der Algorithmus beruht auf der Tatsache, dass in Zweifach(knoten)zusammenhangskomponenten zwischen jedem Knotenpaar mindestens zwei (knoten-)disjunkte Wege existieren. Das entspricht einem Kreis.

Artikulationsknoten und DFS

Lemma

Sei $G = (V, E)$ ein ungerichteter, zusammenhängender Graph und T ein DFS-Baum in G .

Ein Knoten $a \in V$ ist genau dann ein Artikulationsknoten, wenn

- a die Wurzel von T ist und mindestens 2 Kinder hat, oder
- a nicht die Wurzel von T ist und es ein Kind b von a mit $low[b] \geq num[a]$ gibt.

Beweisidee

Der Algorithmus beruht auf der Tatsache, dass in Zweifach(knoten)zusammenhangskomponenten zwischen jedem Knotenpaar mindestens zwei (knoten-)disjunkte Wege existieren. Das entspricht einem Kreis.



Artikulationsknoten und DFS

Lemma

Sei $G = (V, E)$ ein ungerichteter, zusammenhängender Graph und T ein DFS-Baum in G .

Ein Knoten $a \in V$ ist genau dann ein Artikulationsknoten, wenn

- a die Wurzel von T ist und mindestens 2 Kinder hat, oder
- a nicht die Wurzel von T ist und es ein Kind b von a mit $low[b] \geq num[a]$ gibt.

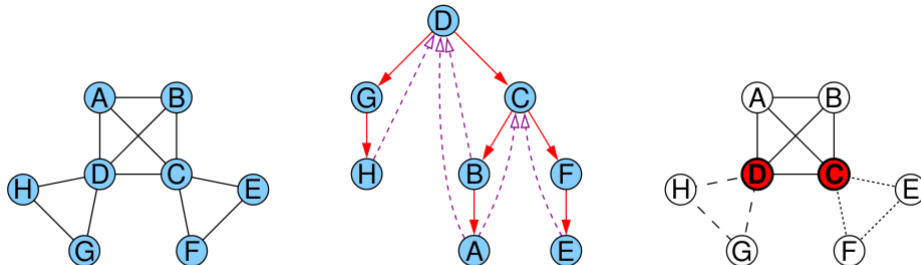
Beweisidee

Der Algorithmus beruht auf der Tatsache, dass in Zweifach(knoten)zusammenhangskomponenten zwischen jedem Knotenpaar mindestens zwei (knoten-)disjunkte Wege existieren. Das entspricht einem Kreis.



Artikulationsknoten und Blöcke per DFS

- bei Aufruf der DFS für Knoten v wird $num[v]$ bestimmt und $low[v]$ mit $num[v]$ initialisiert
- nach Besuch eines Nachbarknotens w : Update von $low[v]$ durch Vergleich mit
 - ▶ $low[w]$ nach Rückkehr vom rekursiven Aufruf, falls (v, w) eine **Baumkante** war
 - ▶ $num[w]$, falls (v, w) eine **Rückwärtskante** war



Artikulationsknoten und Blöcke per DFS

- Kanten werden auf einem anfangs leeren Stack gesammelt
- **Rückwärtskanten** kommen direkt auf den Stack (ohne rek. Aufruf)
- **Baumkanten** kommen vor dem rekursiven Aufruf auf den Stack
- nach Rückkehr von einem rekursiven Aufruf werden im Fall $low[w] \geq num[v]$ die obersten Kanten vom Stack bis einschließlich der Baumkante $\{v, w\}$ entfernt und bilden den nächsten Block

